

СИБИРСКИЕ ЭЛЕКТРОННЫЕ  
МАТЕМАТИЧЕСКИЕ ИЗВЕСТИЯ

Siberian Electronic Mathematical Reports

<http://semr.math.nsc.ru>

Том 12, стр. 704–713 (2015)

УДК 519.725

DOI 10.17377/semi.2015.12.056

MSC 11T71

ПОМЕХОУСТОЙЧИВОЕ КОДИРОВАНИЕ  
С ИСПОЛЬЗОВАНИЕМ БИОРТОГОНАЛЬНЫХ  
НАБОРОВ ФИЛЬТРОВ

Д.В. ЧЕРНИКОВ

**ABSTRACT.** The paper presents the error-correcting coding scheme using biorthogonal filter banks and the method of construction of such mappings using the Euclidean algorithm of calculating the GCD in the ring of polynomials over a finite field.

**Keywords:** error-correcting coding, biorthogonal transforms, biorthogonal filter banks, perfect reconstruction filter banks, wavelet transform over a finite field.

## 1. ВВЕДЕНИЕ

Непрерывные и дискретные вейвлет-преобразования над комплексным и вещественным полями в настоящее время хорошо изучены и широко применяются для анализа сигналов различной природы во многих областях науки, таких как теория цифровой обработки сигналов и изображений, распознавание речи, оптика, геофизика, исследования климата, медицина и других.

Изложение теории вейвлет-преобразований над конечными полями представлено в [1], однако случай, когда характеристика поля равна 2, в данной статье считается исключительным и не рассматривается. Дальнейшее развитие теории вейвлет-преобразований над конечными полями получила в статье [2], где рассмотрен случай характеристики поля равной 2. В отличие от [1] авторы не строят классическую цепочку вложенных подпространств и ограничиваются лишь одним уровнем разложения.

Первые прикладные результаты построенной теории представлены в статьях [3, 4], где предложен подход к реализации кодов, корректирующих ошибки, с

---

CHERNIKOV, D.V., ERROR-CORRECTING CODES USING BIORTHOGONAL FILTER BANKS.

© 2015 Черников Д.В.

Поступила 21 декабря 2014 г., опубликована 14 октября 2015 г.

использованием ортогональных вейвлет-преобразований над конечным полем. Практическое применение этого метода затруднено необходимостью построения вейвлет-функции с заданными свойствами. Задача была решена с использованием методов факторизации унитарных и параунитарных матриц над конечным полем в работах [7], [8], [9] и [10].

Современная теория цифровой обработки сигналов над комплексным и вещественным полями разработала большее число эффективных алгоритмов построения наборов фильтров, обладающих нужными свойствами. Примером может являться кратномасштабное разбиение пространства  $L^2(\mathbb{R})$  с помощью биортогонального набора фильтров точного восстановления [5].

В данной работе представлена схема помехоустойчивого кодирования над конечным полем с использованием биортогональных наборов фильтров точного восстановления и предложен метод построения таких фильтров, на основе лифтинговой схемы [6].

Применение биортогональных наборов фильтров и построение фильтров над полями характеристики не равной 2 обсуждалось автором в [11]. Некоторые вопросы построения биортогональных наборов фильтров над полями характеристики равной 2 были представлены в [12].

## 2. БИОРТОГОНАЛЬНЫЕ ПРЕОБРАЗОВАНИЯ НАД КОНЕЧНЫМИ ПОЛЯМИ И ИХ СВЯЗЬ С НАБОРАМИ ФИЛЬТРОВ ТОЧНОГО ВОССТАНОВЛЕНИЯ

Пусть  $n \in \mathbb{N}$  – четное,  $GF(q)$ ,  $q = p^r$ ,  $p$  – простое. Допустим, что найдется пара разбиений пространства векторов  $V_0 = GF(q)^n$  в прямую сумму подпространств

$$\begin{aligned} V_0 &= V_1 \oplus W_1 = \tilde{V}_1 \oplus \tilde{W}_1, \\ \dim V_1 &= \dim W_1 = \dim \tilde{V}_1 = \dim \tilde{W}_1 = n/2. \end{aligned} \quad (1)$$

В подпространствах  $V_1$  и  $\tilde{V}_1$  и их дополнениях  $W_1$  и  $\tilde{W}_1$  выберем базисы и составим матрицы из компонент базисных векторов в качестве строк

$$H, G, \tilde{H} \text{ и } \tilde{G}.$$

Обозначим  $I$  – единичную и  $O$  – нулевую матрицы над полем  $GF(q)$ .

Будем говорить, что разбиения пространства  $V_0$  удовлетворяет условиям биортогональности, если

$$\begin{aligned} \tilde{H}H^T &= I_{n/2 \times n/2}, \quad \tilde{G}G^T = I_{n/2 \times n/2}, \\ \tilde{H}G^T &= O_{n/2 \times n/2}, \quad \tilde{G}H^T = O_{n/2 \times n/2}, \end{aligned} \quad (2)$$

и удовлетворяют условиям точного восстановления, если

$$H^T \tilde{H} + G^T \tilde{G} = I_{n \times n}. \quad (3)$$

**Теорема 1.** *Для двух разбиений пространства  $V_0$  вида (1), заданных двумя парами матриц  $H, G, \tilde{H}$  и  $\tilde{G}$ , условие биортогональности (2) выполняется тогда, и только тогда, когда выполняется условие точного восстановления (3).*

*Доказательство.* Перепишем условие точного восстановления (3) в виде блочного произведения матриц

$$\begin{bmatrix} H^T & G^T \end{bmatrix} \begin{bmatrix} \tilde{H} \\ \tilde{G} \end{bmatrix} = I_{n \times n}. \quad (4)$$

Тогда матрица

$$[H^T \ G^T]_{n \times n}$$

является обратимой в кольце квадратных матриц и имеет полный ранг.

Домножим справа обе части равенства (4) на матрицу  $[H^T \ G^T]$  и перенесем все по одну сторону от знака равенства, получим

$$[H^T \ G^T] \left( \begin{bmatrix} \tilde{H}H^T & \tilde{H}G^T \\ \tilde{G}H^T & \tilde{G}G^T \end{bmatrix} - I_{n \times n} \right) = O_{n \times n}.$$

Отсюда следуют соотношения (2).

Обратно, запишем (2) в виде

$$\begin{bmatrix} \tilde{H}H^T & \tilde{H}G^T \\ \tilde{G}H^T & \tilde{G}G^T \end{bmatrix} = I_{n \times n}.$$

и представим матрицу как произведение блочных матриц

$$\begin{bmatrix} \tilde{H} \\ \tilde{G} \end{bmatrix} [H^T \ G^T] = I_{n \times n}.$$

Первый множитель – матрица размеров  $n \times n$ , она обратима в кольце квадратных матриц. Домножим полученное выражение на эту матрицу справа и перенесем все по одну сторону от знака равенства. В результате, приходим к соотношению

$$\begin{bmatrix} \tilde{H} \\ \tilde{G} \end{bmatrix} \left( [H^T \ G^T] \begin{bmatrix} \tilde{H} \\ \tilde{G} \end{bmatrix} - I_{n \times n} \right) = O_{n \times n}.$$

Выполнив в скобках блочное умножение, получим условие точного восстановления (3).  $\square$

Далее ограничимся рассмотрением случая, когда матрицы  $H, G, \tilde{H}, \tilde{G}$  размеров  $n/2 \times n$  являются 2-циркулянтными. 2-циркулянтная матрица задается первой строкой и каждая последующая строка является сдвигом предыдущей на 2 позиции вправо. Для задания 2-циркулянтных матриц в дальнейшем будем использовать следующее обозначение

$$H = \text{cir}_2(h_0, h_1, \dots, h_{n-1}) = \begin{bmatrix} h_0 & h_1 & \dots & h_{n-1} \\ h_{n-2} & h_{n-1} & \dots & h_{n-3} \\ \dots & \dots & \dots & \dots \\ h_2 & h_3 & \dots & h_1 \end{bmatrix},$$

где  $\text{cir}$  - обозначает циркулянтность, то есть что строки матрицы получены циклическим сдвигом первой строки вправо, индекс 2 - обозначает количество позиций, на сколько производится сдвиг каждой строки относительно предыдущей, а последовательность  $(h_0, h_1, \dots, h_{n-1})$  представляет первую строку матрицы. Для обозначения 1-циркулянтных (циркулянтных) матриц индекс будем отбрасывать.

Аналогично, обозначим

$$\begin{aligned} G &= \text{cir}_2(g_0, g_1, \dots, g_{n-1}), \\ \tilde{H} &= \text{cir}_2(\tilde{h}_0, \tilde{h}_1, \dots, \tilde{h}_{n-1}), \\ \tilde{G} &= \text{cir}_2(\tilde{g}_0, \tilde{g}_1, \dots, \tilde{g}_{n-1}). \end{aligned}$$

В случае 2-циркулянтных матриц биортогональное разбиение пространства  $V_0$  строится с использованием набора фильтров точного восстановления: пары фильтров анализа  $(\tilde{h}, \tilde{g})$  и пары фильтров синтеза  $(h, g)$ .

### 3. ПОМЕХОУСТОЙЧИВОЕ КОДИРОВАНИЕ С ИСПОЛЬЗОВАНИЕМ БИОРТОГОНАЛЬНЫХ НАБОРОВ ФИЛЬТРОВ

Для помехоустойчивого кодирования с использованием наборов фильтров точного восстановления некоторые свойства вейвлет-преобразований в частотной области, такие как локализация по частоте (свойство нулевого среднего) и сохранение энергии сигнала при разложении, не являются необходимыми, в то же время накладывают существенные ограничения на используемые фильтры. Обязательным является лишь условие точного восстановления, поэтому далее, в отличие от [3, 4], будем вести речь о более широком классе преобразований – классе биортогональных преобразований, включающем в себя вейвлеты. В отличие от [1], в схеме помехоустойчивого кодирования используется только один уровень разложения пространства в прямую сумму подпространств, поэтому размерность векторов не обязательно должна быть степенью двойки, а может быть любым четным числом, тем самым не исключается случай, когда характеристика поля равна 2.

Схема помехоустойчивого кодирования с использованием биортогональных наборов фильтров описывается следующим образом (Рис. 1).

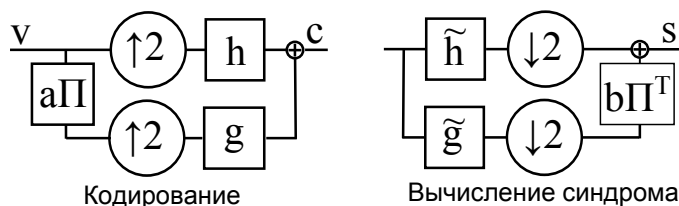


Рис. 1. Схема помехоустойчивого кодирования.

Информационное слово  $\vec{v}$  представляет собой последовательность длины  $n/2$  элементов поля  $GF(q)$ ,  $q = p^r$ ,  $p$  – простое,  $n$  – четно. Полученное кодовое слово  $\vec{c}$  есть последовательность длины  $n$  над полем  $GF(q)$ . Множество всех таких кодовых слов является линейным кодом над полем  $GF(q)$  с порождающей матрицей

$$H^T + aG^T\Pi \tag{5}$$

и проверочной матрицей

$$\tilde{H} + b\Pi^T\tilde{G}, \tag{6}$$

где  $a, b \in GF(q)$ ,  $ab = (p - 1) \bmod p$  и  $\Pi = \text{cir}(0, 0, \dots, 0, 1)$  – циркулянтная матрица размеров  $n/2 \times n/2$ , имеющая вид

$$\Pi = \begin{bmatrix} 0 & 0 & \dots & 0 & 1 \\ 1 & 0 & \dots & 0 & 0 \\ 0 & 1 & \dots & 0 & 0 \\ \dots & \dots & \dots & \dots & \dots \\ 0 & 0 & \dots & 1 & 0 \end{bmatrix},$$

при этом  $\Pi^{-1} = \Pi^T$ .

Использование биортогональных фильтров обеспечивает необходимые свойства для синдромного декодирования. Действительно

$$\begin{aligned} (\tilde{H} + b\Pi^T\tilde{G})(H^T + aG^T\Pi) &= \\ &= \tilde{H}H^T + ab\Pi^T\tilde{G}G^T\Pi + a\tilde{H}G^T\Pi + b\Pi^T\tilde{G}H^T = \\ &= I + (p-1)I = O. \end{aligned}$$

Кроме того, информационное слово легко восстанавливается из кодового слова с помощью одного из фильтров анализа  $(\tilde{h}, \tilde{g})$ , например

$$\tilde{H}\tilde{c} = \tilde{H}(H^T + aG^T)\tilde{v} = (\tilde{H}H^T + a\tilde{H}G^T)\tilde{v} = \tilde{v}$$

Следует заметить, что полученный код является 2-циклическим, то есть каждая циклическая перестановка кодового слова на 2 позиции также является кодовым словом, что в случае синдромного декодирования позволяет значительно сократить требования к памяти для хранения таблицы лидеров смежных классов.

#### 4. ПОСТРОЕНИЕ БИОРТОГОНАЛЬНЫХ НАБОРОВ ФИЛЬТРОВ

Для построения подходящих фильтров точного восстановления используем метод лифтинга, изложенный в [6].

В случае конечных полей нечетной характеристики все соотношения и выводы сохраняются с переносом арифметики из кольца многочленов Лорана в усеченное кольцо многочленов над конечным полем  $GF(q)[x]/(x^n - 1)$ .

Условие точного восстановления для полиномиального представления фильтров записывается в виде

$$\begin{aligned} h(x)\tilde{h}(x^{n-1}) + g(x)\tilde{g}(x^{n-1}) &= 2, \\ h(x)\tilde{h}(-x^{n-1}) + g(x)\tilde{g}(-x^{n-1}) &= 0. \end{aligned} \quad (7)$$

Это условие не определено в полях характеристики 2. Для снятия ограничений на характеристику поля обратимся к рассмотрению полифазных компонент  $h_e(x)$  и  $h_o(x)$ , таких что

$$h(x) = h_e(x^2) + xh_o(x^2), \quad (8)$$

где  $h_e$  содержит только четные компоненты,  $h_o$  – только нечетные компоненты. С фильтрами  $g$ ,  $\tilde{h}$  и  $\tilde{g}$  поступим подобным же образом.

Степени многочленов  $h_e(x)$  и  $h_o(x)$  не превосходят  $n/2 - 1$ . Далее все полифазные компоненты рассматриваются как элементы кольца  $GF(q)[x]/(x^{n/2} - 1)$ .

Для полифазных матриц

$$P(x) = \begin{bmatrix} h_e(x) & g_e(x) \\ h_o(x) & g_o(x) \end{bmatrix}, \quad \tilde{P}(x) = \begin{bmatrix} \tilde{h}_e(x) & \tilde{g}_e(x) \\ \tilde{h}_o(x) & \tilde{g}_o(x) \end{bmatrix} \quad (9)$$

условие (7) переписется в виде

$$P(x)\tilde{P}(x^{n/2-1})^T = I, \quad I - \text{единичная матрица.} \quad (10)$$

Следующее утверждение связывает условие точного восстановления для матричного и полифазного представлений биортогонального набора фильтров.

**Теорема 2.** Для двухканальной схемы анализа-синтеза условие точного восстановления (3) выполняется тогда и только тогда, когда полифазные матрицы  $P$  и  $\tilde{P}$  пар фильтров  $(h, g)$  и  $(\tilde{h}, \tilde{g})$  в кольце  $GF(q)[x]/(x^{n/2} - 1)$  связаны соотношением (10).

*Доказательство.* Перепишем условие (10) в виде произведения полифазных компонент

$$h_e(x)\tilde{h}_e(x^{n/2-1}) + g_e(x)\tilde{g}_e(x^{n/2-1}) = 1, \quad (11a)$$

$$h_o(x)\tilde{h}_e(x^{n/2-1}) + g_e(x)\tilde{g}_e(x^{n/2-1}) = 0, \quad (11b)$$

$$h_e(x)\tilde{h}_o(x^{n/2-1}) + g_e(x)\tilde{g}_o(x^{n/2-1}) = 0, \quad (11c)$$

$$h_o(x)\tilde{h}_o(x^{n/2-1}) + g_o(x)\tilde{g}_o(x^{n/2-1}) = 1. \quad (11d)$$

Выполнив умножение в (11a), получим

$$\sum_{i=0, j=0}^{n/2-1} h_{2i}\tilde{h}_{2j}x^{j-i} + \sum_{i=0, j=0}^{n/2-1} g_{2i}\tilde{g}_{2j}x^{j-i} = 1.$$

Выделим свободный член в левой части

$$\sum_i (h_{2i}\tilde{h}_{2i} + g_{2i}\tilde{g}_{2i}) + \sum_{i \neq j} (h_{2i}\tilde{h}_{2j} + g_{2i}\tilde{g}_{2j})x^{j-i} = 1.$$

Отсюда следует, что

$$h_{2i}\tilde{h}_{2j} + g_{2i}\tilde{g}_{2j} = \begin{cases} 1, & i = j, \\ 0, & i \neq j, \end{cases} \quad i, j \in \overline{0, n/2-1}. \quad (12)$$

Обратимся к матричному представлению фильтров. Подействуем на равенство (3) справа матрицей  $U = \begin{bmatrix} U_e \\ U_o \end{bmatrix}$  и слева матрицей  $U^T = [U_e^T \ U_o^T]$ , где  $U_e = \text{cir}_2(1, 0, 0, \dots, 0)$ ,  $U_o = \text{cir}_2(0, 1, 0, \dots, 0)$  – циркулянтные, размеров  $n/2 \times n$ . Домножение дает переставку столбцов и строк в левой части равенства (3) таким образом, что это соотношение примет вид

$$\begin{bmatrix} H_e^T \\ H_o^T \end{bmatrix} \begin{bmatrix} \tilde{H}_e & \tilde{H}_o \end{bmatrix} + \begin{bmatrix} G_e^T \\ G_o^T \end{bmatrix} \begin{bmatrix} \tilde{G}_e & \tilde{G}_o \end{bmatrix} = I_{n \times n},$$

где  $H_e, H_o, G_e, G_o, \tilde{H}_e, \tilde{H}_o, \tilde{G}_e, \tilde{G}_o$  – циркулянтные матрицы размеров  $n/2 \times n/2$  с только четными, или только нечетными столбцами исходных матриц  $H, G, \tilde{H}$  и  $\tilde{G}$  соответственно.

Выполним блочное умножение матриц

$$\begin{bmatrix} H_e^T \tilde{H}_e + G_e^T \tilde{G}_e & H_e^T \tilde{H}_o + G_e^T \tilde{G}_o \\ H_o^T \tilde{H}_e + G_o^T \tilde{G}_e & H_o^T \tilde{H}_o + G_o^T \tilde{G}_o \end{bmatrix} = I_{n \times n}.$$

Иначе

$$H_e^T \tilde{H}_e + G_e^T \tilde{G}_e = I_{n/2 \times n/2}, \quad (13a)$$

$$H_e^T \tilde{H}_o + G_e^T \tilde{G}_o = O_{n/2 \times n/2}, \quad (13b)$$

$$H_o^T \tilde{H}_e + G_o^T \tilde{G}_e = O_{n/2 \times n/2}, \quad (13c)$$

$$H_o^T \tilde{H}_o + G_o^T \tilde{G}_o = I_{n/2 \times n/2}. \quad (13d)$$

Перемножив и сложив матрицы в (13а), получим соотношение

$$\|h_{2i}\tilde{h}_{2j} + g_{2i}\tilde{g}_{2j}\|_{n/2 \times n/2} = I,$$

эквивалентное (12).

Аналогично проверяется эквивалентность оставшихся соответствующих выражений из (11) и (13).  $\square$

Таким образом, метод построения наборов фильтров точного восстановления с использованием алгоритма Евклида нахождения НОД из [6] применим и над конечными полями, не исключая поля характеристики 2.

Задача построения биортогональных наборов фильтров сводится к построению пары фильтров  $(h, g)$ , определитель полифазной матрицы для которых равен 1. Такая пара фильтров в теории кратномасштабного анализа называется комплементарной.

Комплементарные фильтры можно получить с помощью разложения по алгоритму Евклида нахождения НОД [6]

$$\begin{bmatrix} h_e(x) \\ h_o(x) \end{bmatrix} = \prod_{i=1}^m \begin{bmatrix} q_i(x) & 1 \\ 1 & 0 \end{bmatrix} \begin{bmatrix} K \\ 0 \end{bmatrix}, \quad (14)$$

$$P(x) = \begin{bmatrix} h_e(x) & g_e(x) \\ h_o(x) & g_o(x) \end{bmatrix} = \prod_{i=1}^m \begin{bmatrix} q_i(x) & 1 \\ 1 & 0 \end{bmatrix} \begin{bmatrix} K & 0 \\ 0 & (-1)^m 1/K \end{bmatrix}. \quad (15)$$

Аналогично [6], в случае конечного поля можно утверждать, что если  $(h, g)$  - пара комплементарных фильтров и произведение  $h_e(x)h_o(x) \neq 0 \pmod{(x^{n/2} - 1)}$ , тогда для любого другого фильтра  $g_s$ , комплементарного  $h$ , существует  $s(x) \in GF(q)[x]/(x^{n/2} - 1)$ , такой что

$$g_s(x) = g(x) + h(x)s(x^2). \quad (16)$$

Соответствующая полифазная матрица  $P_s(x)$  имеет вид

$$P_s(x) = P(x) \begin{bmatrix} 1 & s(x) \\ 0 & 1 \end{bmatrix}. \quad (17)$$

Двойственная пара фильтров  $(\tilde{h}, \tilde{g})$ , согласно (10), определяется соотношениями

$$\tilde{h}(x) = -xg(-x^{n-1}), \quad \tilde{g}(x) = xh(-x^{n-1}). \quad (18)$$

Для построения набора фильтров точного восстановления необходимо выполнить следующие действия:

- (1) Выберем произвольный фильтр  $h$ .
- (2) Выделим полифазные компоненты  $h_e$  и  $h_o$ .
- (3) Выполним алгоритм Евклида нахождения НОД в усеченном кольце многочленов для  $h_e(x)$  и  $h_o(x)$ , получим разложение (14).
- (4) С помощью (15) найдем полифазные компоненты  $g_e$  и  $g_o$  комплементарного фильтра  $g$ .
- (5) Восстановим комплементарный фильтр  $g$  с помощью (8).
- (6) Двойственные фильтры  $(\tilde{h}, \tilde{g})$  вычисляем по формулам (18).
- (7) С использованием (16) можем получить любой другой фильтр  $g_s$ , комплементарный  $h$ .

Для задания помехоустойчивого кода с использованием построенного набора фильтров точного восстановления необходимо дополнительно выбрать константы  $a, b \in GF(q)$ ,  $ab = (p-1) \bmod p$ , тогда полученный код имеет порождающую матрицу вида (5) и проверочную матрицу вида (6).

Сложность построения кода длины  $n$  соответствует сложности алгоритма Евклида нахождения НОД многочленов степени не более  $n$  над конечным полем и составляет порядка  $O(n^2)$  элементарных операций.

#### ПРИМЕРЫ ПОСТРОЕНИЯ БИОРТОГОНАЛЬНЫХ КОДОВ

Рассмотрим конечное поле  $GF(7)$ , в качестве примитивного элемента выберем  $\alpha = 3$ . Следуя описанному в предыдущей главе алгоритму, построим пример биортогонального кода с длиной фильтров равной  $n = 6$ :

1. Выберем фильтр  $h(x) = 4x^4 + 5x^2 + 2x + 3$ .
2. Его полифазные компоненты  $h_e(x) = 4x^2 + 5x + 3$  и  $h_o = 2$
3. Алгоритм Евклида нахождения НОД для полифазных компонент дает разложение

$$\begin{bmatrix} h_e(x) & g_e(x) \\ h_o(x) & g_o(x) \end{bmatrix} = \begin{bmatrix} 2x^2 + 6x + 5 & 1 \\ 1 & 0 \end{bmatrix} \begin{bmatrix} 2 & 0 \\ 0 & 3 \end{bmatrix} = \begin{bmatrix} 4x^2 + 5x + 3 & 3 \\ 2 & 0 \end{bmatrix}.$$

4. Получены полифазные компоненты  $g_e(x) = 3$  и  $g_o(x) = 0$ .
5. Комплементарный фильтр записывается в виде  $g(x) = 3$ .
6. Двойственные фильтры  $\tilde{h}(x) = 4x$  и  $\tilde{g}(x) = 5x^5 + 4x^3 + 3x + 5$ .

Если в схеме кодирования положить  $a = 1$ , то построенный набор фильтров точного восстановления задает биортогональный 2-циклический  $(6, 3)$ -код с порождающей матрицей

$$\begin{bmatrix} 3 & 2 & 1 & 0 & 4 & 0 \\ 4 & 0 & 3 & 2 & 1 & 0 \\ 1 & 0 & 4 & 0 & 3 & 2 \end{bmatrix}.$$

Такой код имеет кодовое расстояние  $d = 3$ .

Экспериментально установлено, что, применив лифтинг с помощью многочлена  $s(x) = 1$ , получим  $(6,3)$ -код с порождающей матрицей

$$\begin{bmatrix} 0 & 2 & 4 & 2 & 2 & 0 \\ 2 & 0 & 0 & 2 & 4 & 2 \\ 4 & 2 & 2 & 0 & 0 & 2 \end{bmatrix}$$

и с максимально возможным для заданной скорости и длины кода расстоянием  $d = 4$ .

В работе [3] рассмотрен пример самодвойственного  $(24, 12, 8)$ -кода над  $GF(2)$ , эквивалентного расширенному коду Голея и задаваемого парой фильтров

$$\begin{aligned} h(x) &= x^{22} + x^{20} + x^5 + x + 1, \\ g(x) &= x^{23} + x^{21} + x^{19} + x^{17} + x^{15} + x^{13} + x^{12} + x^{11} + x^9 + x^8 + x. \end{aligned}$$

Для такого кода выполняется условие точного восстановления (3), но он не может быть построен с использованием алгоритма Евклида нахождения НОД, так как определитель соответствующей полифазной матрицы не равен 1. Построим аналогичный пример по описанному выше алгоритму.

1. Выберем фильтр  $h$

$$h(x) = x^{22} + x^{20} + x^5 + x + 1.$$



2. Выделим полифазные компоненты

$$h_e(x) = x^{11} + x^{10} + 1, \quad h_o(x) = x^2 + 1.$$

3. Осуществим разложение по алгоритму Евклида:

$$\begin{aligned} \begin{bmatrix} h_e(x) & g_e(x) \\ h_o(x) & g_o(x) \end{bmatrix} &= \begin{bmatrix} x^9 + x^8 + x^7 + \dots + x + 1 & 1 \\ & 0 \end{bmatrix} \begin{bmatrix} x & 1 \\ 1 & 0 \end{bmatrix} \begin{bmatrix} x & 1 \\ 1 & 0 \end{bmatrix} \begin{bmatrix} 1 & 0 \\ 0 & 1 \end{bmatrix} = \\ &= \begin{bmatrix} x^{11} + x^{10} + 1 & x^{10} + x^9 + x^8 + \dots + x + 1 \\ x^2 + 1 & x \end{bmatrix}. \end{aligned}$$

4. Полифазные компоненты у комплементарного фильтра следующие:

$$g_e(x) = x^{10} + x^9 + x^8 + x^7 + x^6 + x^5 + x^4 + x^3 + x^2 + x + 1, \quad g_o(x) = x.$$

5. Комплементарный фильтр имеет вид:

$$g(x) = x^{20} + x^{18} + x^{16} + x^{14} + x^{12} + x^{10} + x^8 + x^6 + x^4 + x^3 + x^2 + 1.$$

6. Двойственные фильтры

$$\begin{aligned} \tilde{h}(x) &= x^{23} + x^{22} + x^{21} + x^{19} + x^{17} + x^{15} + x^{13} + x^{11} + x^9 + x^7 + x^5 + x, \\ \tilde{g}(x) &= x^{20} + x^5 + x^3 + x + 1. \end{aligned}$$

Приняв константу  $a = 1$ , получим биортогональный 2-циклический (24,12)-код с кодовым расстоянием  $d_{max} = 4$ . Применяв лифтинг с помощью многочлена  $s(x) = 1$ , получим биортогональный код с фильтрами

$$\begin{aligned} h(x) &= x^{22} + x^{20} + x^5 + x + 1, \\ g_s(x) &= x^{22} + x^{18} + x^{16} + x^{14} + x^{12} + x^{10} + x^8 + x^6 + x^5 + x^4 + x^3 + x^2 + x. \end{aligned}$$

Такой код имеет кодовое расстояние  $d_{max} = 8$  и, аналогично расширенному коду Голея, исправляет 3 ошибки.

Реализация алгоритма построения помехоустойчивого кода с использованием алгоритма Евклида нахождения НОД для двухканального набора биортогональных фильтров, выполненная в среде SageMath, доступна для ознакомления по ссылке [13].

## ЗАКЛЮЧЕНИЕ

Изложенный метод позволяет реализовать линейное 2-циркулярное помехоустойчивое кодирование со скоростью 1/2. На практике удалось достичь максимального возможного кодового расстояния для заданной скорости и длины кода. Применение биортогональных наборов фильтров дает возможность подбирать необходимые параметры фильтров, а также использовать лифтинг для получения биортогональных кодов с хорошими корректирующими свойствами.

В дальнейшем предполагается рассмотреть возможность построения биортогональных кодов с максимально возможным кодовым расстоянием.

## REFERENCES

- [1] G. Caire, R. L. Grossman, H. V. Poor, *Wavelet Transforms Associated with Finite Cyclic Groups*, IEEE Trans. Inf. Theory, **39**:4 (1993), 1157–1166. MR1267152
- [2] F. Fekri, R. M. Mersereau, R. W. Schafer, *Theory of wavelet transform over finite fields*, Acoustics, Speech, and Signal Processing, 1999. Proceedings., 1999 IEEE International Conference on, vol.3 (1999), pp. 1213–1216. MR1945586
- [3] F. Fekri, S. W. McLaughlin, R. M. Mersereau and R. W. Schafer, *Double Circulant Self-Dual Codes Using Finite-Field Wavelet Transforms*, Applied Algebra, Algebraic Algorithms and Error Correcting Codes Conference (Honolulu, HI, 1999), Lecture Notes in Comput. Sci., **1719** (1999), 355–364. MR1846511
- [4] F. Fekri, S. W. McLaughlin, R. M. Mersereau and R. W. Schafer, *Error Control Coding Using Finite-Field Wavelet Transforms*, Center for Signal Image Processing, Georgia Institute of Technology, Atlanta, GA, **30332** (1999), 1–13.
- [5] S. Mallat, *A Wavelet Tour of Signal Processing, Second Edition*, Academic Press, 2 edition, 1999. Zbl 0998.94510
- [6] I. Doubechies, W. Sweldens, *Factoring Wavelet Transforms into Lifting Steps*, The Journal of Fourier Analysis and Applications, **4**:3 (1998).
- [7] P. P. Vaidyanathan, *Multirate Systems and Filter Banks*, Prentice-Hall, NJ, 1993. Zbl 0784.93096
- [8] A. K. Soman, P. P. Vaidyanathan and T. Q. Nquyen, *Linear-phase paraunitary filter banks: Theory, factorizations and designs*, IEEE Trans. Signal Processing, **41**:12 (1993), 3480–3496. Zbl 0873.93064
- [9] S. M. Phoong, P. P. Vaidyanathan, *Paraunitary Filter Banks Over Finite Fields*, IEEE Trans. Signal Proc., **45**:6 (1997), 1443–1457. Zbl 1053.94524
- [10] F. Fekri, R. M. Mersereau, R. W. Schafer, *Theory of paraunitary filter banks over fields of characteristic two*, IEEE Trans. Inform. Theory, **48**:11 (2002), pp. 2964–2979.
- [11] D. Chernikov, *Error-correcting codes using biorthogonal transforms over finite field*, Contemporary Problems of Mathematics and Its Applications 2011 Conf. Proceedings., IMM Ural Branch of RAS, Yekaterinburg, (2011), 247–249.
- [12] D. Chernikov. *Error-correcting codes using biorthogonal transforms over  $GF(2^m)$* . // Scientific session TUSUR 2012 Conf. Proceedings., **1**, Tomsk State University of Control Systems and Radioelectronics, Tomsk, (2012), 17–20.
- [13] D. Chernikov. *Biorthogonal coding algorithm implementations* [SageMath Cloud Services]. // <https://cloud.sagemath.com/projects/1ccf53b4-fab7-4a6d-9e8a-11495608d884/files/biorth-codes-construct.sagews>

DMITRY VLADIMIROVICH CHERNIKOV  
CHELYABINSK STATE UNIVERSITY,  
129 BRATIEV KASHIRINYKH ST.,  
454001, CHELYABINSK, RUSSIA  
E-mail address: cherninkiy@gmail.com